



УДК 621.318.3.001.2

© 2007

Член-корреспондент НАН України А. Е. Божко

Распространение гипотезы о переходных процессах в электроцепях на полигармонические входные воздействия

The hypothesis about the transient processes in electric circuits with polyharmonic input voltages is developed. The electric current in an RL circuit is calculated.

В работах [1–3] представлена концепция о переходных процессах в электроцепях, базирующаяся на разложении переднего фронта единичной функции $1(t)$ на ряд составляющих, включающий для синусоидального входного напряжения $U_{\text{вх}} = U_a \sin(\omega t \pm \varphi)$, где U_a — амплитуда; ω — круговая частота ($\omega = 2\pi f$, f — частота); φ — угол сдвига; t — время, слагаемые ($U_0 = \pm U_a e^{-\alpha_0 t} \sin \varphi$), ($U_1 = U_a(1 - e^{-\alpha_1 t}) \sin(\omega t \pm \varphi)$), ($U_2 = \sum_{k=1}^n U_{ak} e^{-\alpha_k t} \sin \omega_k t$),

$$U_{ak} = \frac{U_a \sin \varphi}{\pi} \left| \frac{1}{\omega_k} \right|.$$

В выражениях этих составляющих α_0 , α_1 , α_k — коэффициенты затухания; U_{ak} , ω_k — амплитуда и круговая частота k -й гармоники, $k = \overline{1, n}$. В этих же работах [1–3] даны решения задач о переходных процессах для электроцепей с RL и RC элементами. Следует заметить, что конечные выражения, описывающие изменения тока в цепи с RL элементами и напряжения в цепи с RC элементами при коэффициентах α_0 , α_1 , α_k , равных ∞ , полностью совпадают с результатами, определяемыми классическими методами [4]. Известно [5], что единичная функция $1(t)$ может быть представлена односторонним Фурье-разложением вида

$$1(t) = \frac{1}{2} + \frac{1}{\pi} \int_0^{\infty} \frac{\sin \omega t}{\omega} d\omega. \quad (1)$$

С практической точки зрения выражение (1) записывается так:

$$1(t) = \frac{1}{2} + \frac{1}{\pi} \sum_{k=1}^n \frac{[\sin \omega_k t]}{\omega_k}, \quad n \rightarrow \infty,$$

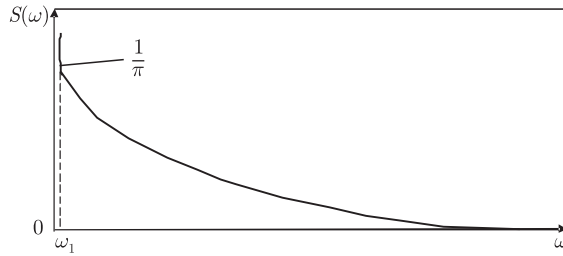


Рис. 1

откуда четко видно, что единичная функция $1(t)$ включает в себя постоянную составляющую и совокупность (n) гармоник с уменьшающимися амплитудами по закону $1/(\pi\omega_k)$, $k = \overline{1, n}$. Спектр этой функции показан на рис. 1, из которого видно, что при низких частотах амплитуды $1/(\pi\omega_k)$ значительно больше, чем при больших ω_k . Так, например, если $\omega_1 = 0,01$, то уже при $\omega_k = 1$ амплитуда k -й гармоники уменьшилась в 100 раз.

Из такого примера ясно, что существенные по амплитуде гармоники единичной функции $1(t)$ расположены в основном в низкочастотном диапазоне. В результате экспериментальной проверки с помощью Брюль-Къеровского анализатора спектра спектра функции $E \cdot 1(t)$, где $E - \text{const}$, факт такого спектрального разложения подтвердился. Однако в результате эксперимента обнаружено отличие, заключающееся в том, что гармоники $\sin \omega_k t$, $k = \overline{1, n}$, присутствовали непродолжительное время, т. е. затухали, хотя анализатор постоянную составляющую пропускал. И это привело к выводу, что функция $E \cdot 1(t)$ может быть представлена в другом виде:

$$E \cdot 1(t) = E(1 - e^{-\alpha t}) + \sum_{k=1}^m U_{ak} e^{-\alpha_k t} \sin \omega_k t \quad (2)$$

при $t = 0 \div \infty$ и где $U_{ak} = (E/\pi)(|1/\omega_k|)$.

Выражение (2) сравним с выражением [5]

$$E \cdot 1(t) = \begin{cases} E & \text{при } t > 0, \\ 0 & \text{при } t \leq 0. \end{cases} \quad (3)$$

Из (2)

$$E \cdot 1(t) = \begin{cases} 0 & \text{при } t \leq 0, \\ E & \text{при } t > 0, \end{cases}$$

т. е. (2) совпадает с (3).

В выражении (2) α и α_k — коэффициенты затухания. Если $\alpha = \alpha_k = \infty$, то (2) становится также (3). Если же

$$E \cdot 1(t) = \begin{cases} 1 & \text{при } t \geq 0, \\ 0 & \text{при } t < 0, \end{cases}$$

то $E \cdot 1(t)$ может быть представлена в виде

$$E \cdot 1(t) = E(1 - e^{-\alpha t}) + \sum_{k=1}^n U_{ak} e^{-\alpha_k t} \cos \omega_k t,$$

где $U_{ak} = (E/\pi)(|1/\omega_k|)$, $\sum_{k=1}^n U_{ak} = E$.

Исходя из такого сравнения, мы разработали гипотезу исследования переходных процессов электроцепей с учетом разложения скачков входных напряжений на составляющие вида (2) [2, 3]. Для синусоидальных входных напряжений такое разложение приемлемо при $\varphi \neq 0$ на составляющие U_0, U_1, U_2 [3].

В связи с представленной гипотезой целесообразно рассмотреть переходные процессы в электроцепях и при полигармонических входных напряжениях. Подтверждением этому является то, что импульсные входные сигналы (реально существующие) могут быть разложены в гармонический ряд [4, 5], являющийся полигармоническим. Дополнением к такой целесообразности данного исследования является необходимость в воспроизведении полигармонических вибраций электродинамическими или электромагнитными вибростендами, входные электроцепи которых представляют собой в основном RL звенья, а управляющие сигналы в этом случае являются полигармоническими [6, 7].

Здесь рассмотрим электроцепь с RL элементами. Примем, что входное напряжение этой электроцепи имеет вид

$$U_{\text{вх}} = \sum_{l=1}^n U_l = \sum_{l=1}^n U_{al} \sin(\omega_l t \pm \varphi_l), \quad (4)$$

где $U_{al}, \omega_l, \varphi_l$ — амплитуда, круговая частота и угол сдвига l -й гармоники соответственно. При решении задачи о переходных процессах учтем, что RL цепь является линейной. Поэтому в этом решении справедлив принцип суперпозиции, т. е. общий отклик на воздействие в виде (4) определяется как сумма n откликов на воздействия

$$U_{al} \sin(\omega_l t \pm \varphi_l), \quad l = \overline{1, n}. \quad (5)$$

При $|\varphi_l| > 0$ функция (5) в соответствии с представляемой гипотезой разлагается на составляющие

$$\left. \begin{aligned} U_{0l}(t) &= \pm U_{al} e^{-\alpha_{0l} t} \sin \varphi_l; \\ U_{1l}(t) &= U_{al} (1 - e^{-\alpha_{1l} t}) \sin(\omega_l t \pm \varphi_l); \\ U_{2l} &= \sum_{s=1}^m U_{als} e^{-\alpha_{ls} t} \sin \omega_{ls} t, \end{aligned} \right\} \quad (6)$$

где $\alpha_{0l}, \alpha_{1l}, \alpha_{ls}$ — коэффициенты затухания; U_{als}, ω_{ls} — амплитуды и круговые частоты гармоник разложения $U_l(t)$ $\left(U_{als} = \frac{U_{al} \sin \varphi_l}{\pi} \left| \frac{1}{\omega_{ls}} \right| \right)$.

Если же угол $\varphi_l = 0$, то такое разложение (6) отсутствует и отклик (реакция) электроцепи происходит от действия каждого напряжения $U_l(t) = U_{al} \sin \omega_l t, l = \overline{1, n}$.

Решить задачу можно с помощью классического или операционного метода [5, 8]. Но в работе [8] приведено решение задач о переходном процессе в цепи RL при входных напряжениях $U_c = U_m e^{-\alpha t}$ (с. 45), $U_b = U_m \sin(\omega t + \Psi)$ (с. 38), $U_d = U_m e^{-\alpha t} \sin(\omega t + \Psi)$ (с. 49).

В нашем случае из (6) $U_{0l}(t)$ соответствует U_c , $U_{1l}(t) = U_{1l_1} - U_{1l_2} = U_{al} \sin(\omega_l t \pm \varphi_l) - U_{al} e^{-\alpha_{1l} t} \sin(\omega_l t \pm \varphi_l)$ соответствует $U_b + U_d$ и $U_{ls}(t)$ соответствует U_d при $\Psi = 0$. Поэтому воспользуемся готовыми решениями из [8] для RL цепи. Тогда

$$i_{0l}(t) = \frac{U_{al} \sin \varphi_l}{R - L\alpha_{0l}} (e^{-\alpha_{0l} t} - e^{-\delta t}), \quad (7)$$

где δ — коэффициент затухания ($\delta = R/L$), $i_{1b}(t) = i_{1l_1}(t) - i_{1l_2}(t)$ и

$$i_{1l_1} = I_{1l_1}[\sin(\omega_l t + \Psi_l) - e^{-\delta t} \sin \Psi_l], \quad (8)$$

где $I_{1l_1} = U_{al}/\sqrt{R^2 + \omega_l^2 L^2}$; $\Psi_l = \pm \varphi_l - \Psi_{Ll}$; $\Psi_{Ll} = \arctg(\omega_l L/R)$;

$$i_{1l_2} = \frac{U_{al}}{(R - \alpha_l L)^2 + \omega_l^2 L^2} \{[(\alpha_l L - R)(\pm \sin \varphi_l) + \omega_l L \cos \varphi_l]e^{-\delta t} + e^{-\alpha_l t}[(R - \alpha_l L) \sin(\omega_l t \pm \varphi_l) - \omega_l L \cos(\omega_l t \pm \varphi_l)]\}, \quad (9)$$

$$i_{ls} = \frac{U_{als}}{(R - \alpha_{ls} L)^2 + \omega_{ls}^2 L^2} \{(\alpha_{ls} L - R)\omega_{ls} L e^{-\delta t} + e^{-\alpha_{ls} t}[(R - \alpha_{ls} L) \sin \omega_{ls} t - \omega_{ls} L \cos \omega_{ls} t]\}. \quad (10)$$

Ток $i_{Ll}(t)$ в цепи RL равен

$$i_{Ll}(t) = i_{ol}(t) + i_{1l_1}(t) - i_{1l_2}(t) + \sum_{s=1}^m i_{ls}(t), \quad l = \overline{1, n},$$

или, с учетом выражений (7)–(10),

$$i_{Ll}(t) = \frac{U_{al} \sin \varphi_l}{R - L\alpha_{0l}} (e^{-\alpha_{0l} t} - e^{-\delta t}) + \frac{U_{al}}{\sqrt{R^2 + \omega_l^2 L^2}} [\sin(\omega_l t + \Psi_l) - (\sin \Psi_l) e^{-\delta t}] - \frac{U_{al}}{(R - \alpha_l L)^2 + \omega_l^2 L^2} \{[(\alpha_l L - R)(\pm \sin \varphi_l) + \omega_l L \cos \varphi_l]e^{-\delta t} + e^{-\alpha_l t}[(R - \alpha_l L) \sin(\omega_l t \pm \varphi_l) - \omega_l L \cos(\omega_l t \pm \varphi_l)]\} + \sum_{s=1}^m \frac{U_{als}}{(R - \alpha_{ls} L)^2 + \omega_{ls}^2 L^2} \times \{(\alpha_{ls} L - R)\omega_{ls} L e^{-\delta t} + e^{-\alpha_{ls} t}[(R - \alpha_{ls} L) \sin \omega_{ls} t - \omega_{ls} L \cos \omega_{ls} t]\}. \quad (11)$$

Проверим полученное соотношение (11) следующим образом. При $t = 0$, $i_{Ll}(0) = 0$; при $t = \infty$

$$i_{Ll}(\infty) = \frac{U_{al}}{\sqrt{R^2 + \omega_l^2 L^2}} \sin(\omega_l t + \Psi_l). \quad (12)$$

Далее при $\alpha_{0l} = \alpha_l = \alpha_{ls} = \infty$

$$i_{Ll}(t) = \frac{U_{al}}{\sqrt{R^2 + (\omega_l L)^2}} [\sin(\omega_l t + \Psi_l) - e^{-\delta t} \sin \Psi_l]. \quad (13)$$

Данная проверка подтверждает правильность приведенных решений, т. е. выражения (12), (13) полностью идентичны классическим результатам.

В итоге общий ток $i_{L\Sigma}(t)$ в RL цепи при полигармоническом входном напряжении

$$U_{вх}(t) = \sum_{l=1}^n U_{al} \sin(\omega_l t \pm \varphi_l)$$

определяется выражением

$$\begin{aligned}
 i_{L\Sigma}(t) = & \sum_{l=1}^n i_{Ll}(t) = \sum_{l=1}^n \left\langle \frac{U_{al} \sin \varphi_l}{R - L\alpha_{0l}} (e^{-\alpha_{0l}t} - e^{-\delta t}) + \right. \\
 & + \frac{U_{al}}{\sqrt{R^2 + \omega_l^2 L^2}} [\sin(\omega_l t + \varphi_l) - e^{-\delta t} \sin \Psi_l] - \\
 & - \frac{U_{al}}{(R - \alpha_l L)^2 + \omega_l^2 L^2} \{[(\alpha_l L - R)(\pm \sin \varphi_l) + \omega_l L \cos \varphi_l] e^{-\delta t} + \\
 & + e^{-\alpha_l t} [(R - \alpha_l L) \sin(\omega_l t \pm \varphi_l) - \omega_l L \cos(\omega_l t \pm \varphi_l)]\} + \sum_{s=1}^m \frac{U_{als}}{(R - \alpha_{ls}^2 L)^2 + \omega_{ls}^2 L^2} \times \\
 & \left. \times \{(\alpha_{ls} L - R) \omega_{ls} L e^{-\delta t} + e^{-\alpha_{ls} t} [(R - \alpha_{ls} L) \sin \omega_{ls} t - \omega_{ls} L \cos \omega_{ls} t]\} \right\rangle. \quad (14)
 \end{aligned}$$

С учетом того, что $i_{Ll}(t)$, полностью соответствуя классическому решению при $\alpha_{0l} = \alpha_l = \alpha_{ls} = \infty$ и при $t = 0, t = \infty$, являются правильно определенными, то и $i_{L\Sigma}(t) = \sum_{l=1}^n i_{Ll}(t)$, определяемый выражением (14), найден правильно.

Как и в работах [2, 3], здесь пока не известными являются коэффициенты затухания $\alpha_{0l} = \alpha_l = \alpha_{ls}$. Их определения требуют дальнейших исследований. Известно, что $\alpha_{0l} > \delta$; $\alpha_l > \delta$; $\alpha_{ls} > \delta$.

Решение задачи по предлагаемому методу для электроцепи с RC элементами подобны для напряжения U_c на емкости C . В этом решении необходимо вместо $\delta = R/L$ подставить $1/RC$ и вместо U_{al}/L подставить $U_{al}/(RC)$.

Заметим, что предлагаемые выводы в соответствии с рассматриваемой гипотезой о переходных процессах в электроцепях претендовать на абсолют (аксиому) пока не имеют права. Однако, как указывал Жюль Верн, "гипотезы развивают науку". Поэтому автор надеется, что в будущем данный подход в решении задачи о переходных процессах в электроцепях может занять аксиоматическое место.

1. Божко А. Е. К концепции о переходных процессах в электрических цепях // Доп. НАН України. – 2003. – № 12. – С. 72–75.
2. Божко А. Е. Новая интерпретация переходных процессов в электрических цепях // Там же. – 2004. – № 9. – С. 83–87.
3. Божко А. Е. О новой трактовке переходных процессов в электрических цепях переменного тока // Там же. – 2005. – № 4. – С. 81–86.
4. Бессонов Л. А. Теоретические основы электротехники. – Москва: Высш. шк., 1978. – 528 с.
5. Андре Анго. Математика для электро- и радиоинженеров. – Москва: Наука, 1965. – 780 с.
6. Божко А. Е. Воспроизведение случайных вибраций. – Киев: Наук. думка, 1984. – 216 с.
7. Вибрации в технике // Под ред. д. т. н., проф. М. Д. Генкина. – Москва: Машиностроение, 1981. – Т. 5. – 496 с.
8. Гинзбург С. Г. Методы решения задач по переходным процессам в электрических цепях. – Москва: Сов. радио, 1959. – 404 с.

Институт проблем машиностроения
им. А. Н. Подгорного НАН Украины, Харьков

Поступило в редакцию 02.08.2006